



PERÚ

Ministerio
del AmbienteServicio Nacional de
Meteorología e Hidrología
del Perú - SENAMHISUBDIRECCION DE
PREDICCION CLIMATICA

"Decenio de la Igualdad de Oportunidades para Mujeres y Hombres"
"Año de la recuperación y consolidación de la economía peruana"

INFORME TÉCNICO SENAMHI-ENFEN N°12-2025

DICIEMBRE 2025 Y CONDICIONES ACTUALES DE ENERO 2026

Componente Atmosférica: Monitoreo de Condiciones El Niño y Pronóstico Subestacional

RESUMEN

El Índice Oceánico Niño (ONI temporal), centrado en noviembre de 2025, registró -0.5 °C (categoría fría débil, ERSSTv5). En diciembre, la anomalía de TSM en la región 3.4 promedió -0.66 °C (ERSSTv5), reflejando una ligera tendencia descendente. En enero persisten las condiciones frías en el Pacífico central, asociadas a la predominancia de los vientos del este. Según el C3S, las anomalías negativas en la región Niño 3.4 se mantendrían entre neutrales y frías hasta febrero - marzo de 2026; con una posterior predominancia de condiciones cálidas desde abril hasta junio del 2026.

En el Pacífico Oriental (región Niño 1+2), el ICEN centrado en noviembre de 2025 fue de -0.5 °C (condición neutra), mientras que en diciembre su valor mensual alcanzó -0.71 °C (ERSSTv5), con una tendencia hacia condiciones frías. Desde mediados de enero se registró un incremento de las anomalías de TSM, que podría haber sido influenciado por un debilitamiento del APS y los vientos costeros, con valores que pasaron de -0.7 °C (04 – 10 de enero) a -0.3 °C (11 – 17 de enero; OISST). Según el C3S, para el verano de 2026 se prevén anomalías neutras en la región Niño 1+2, con una transición hacia condiciones cálidas a partir de marzo-abril de 2026.

Durante diciembre de 2025, la circulación de Walker presentó, en promedio, subsidencia en la región norte del Perú, lo que sumado a la baja concentración de humedad, favoreció déficits de precipitación. Este patrón cambió en enero 2025, con una predominancia de convección e incrementos de la saturación atmosférica y el agua precipitable, lo que favoreció la convección, el desarrollo vertical de nubosidad y superávits de precipitación con anomalías de hasta +800%.

El Anticiclón del Pacífico Sur (APS), durante diciembre de 2025, presentó episodios de debilitamiento y desplazamiento hacia el sur y oeste de su posición climática, lo que favoreció el debilitamiento de los vientos, principalmente en la costa central y sur del Perú. En enero, estos episodios de debilitamiento y migración del APS hacia el sur y oeste de su posición climática persistieron con mayor frecuencia, propiciando el debilitamiento de los vientos costeros y el incremento de las anomalías de la TSM en la región Niño 1+2. De acuerdo con el pronóstico de los modelos del C3S, se proyecta una caída de presión en la posición climática del APS, principalmente entre marzo y junio de 2026, lo que podría reducir la intensidad de los vientos alisios y favorecer incrementos de las anomalías de TSM en la región Niño 1+2.



PERÚ

Ministerio
del AmbienteServicio Nacional de
Meteorología e Hidrología
del Perú - SENAMHISUBDIRECCION DE
PREDICCIÓN CLIMÁTICA

"Decenio de la Igualdad de Oportunidades para Mujeres y Hombres"
"Año de la recuperación y consolidación de la economía peruana"

1. TEMPERATURA SUPERFICIAL DEL MAR EN EL PACÍFICO ECUATORIAL Y PERSPECTIVAS

Desde la 2da década de diciembre hasta la 1ra década de enero 2025 persistió la predominancia de anomalías negativas en la región Niño 1+2 y en el litoral costero. Asimismo, frente al litoral costero central y sur del Perú predominaron anomalías cálidas abarcando un área significativa, entre los 14°S y 22°S, las cuales hacia la 2da década de enero han ido abarcando una mayor área, alcanzando la región suroeste del Niño 1+2 y propiciando un incremento de anomalías de TSM (ver **Figuras 1a, 1b, 1c, 1d y 2**).

A escala semanal, los datos del producto OISSTv2.1¹ también evidenciaron este incremento: la anomalía pasó de -0.7 °C (28 diciembre – 3 de enero 2026 y 04 – 10 de enero 2026) a -0.3 °C (11 – 17 de enero 2026).

Actualmente (21–22 de enero), se observa una normalización de las anomalías de la TSM, con valores de -0.08 °C en OSTIA y -0.14 °C en OISST. Desde la perspectiva del pronóstico subestacional, el modelo MERCATOR sugiere que hacia finales de enero podría presentarse un breve calentamiento, seguido de un descenso de las anomalías de TSM, alcanzando valores de hasta -0.45 °C. No obstante, las condiciones dinámicas no resultan suficientemente favorables para sostener dicho enfriamiento transitorio (ver **Figura 2**).

Respecto al Pacífico Central (región Niño 3.4), en diciembre y lo que va de enero 2026 persistieron las anomalías negativas de TSM cercanas al umbral de -0.5°C (OSTIA y OISST), con breves disminuciones de TSM a inicios de enero 2026. Desde la línea de pronóstico, fines de febrero 2026, el modelo MERCATOR está mostrando un ligero incremento de anomalías de TSM que se mantendría cercano al umbral de -0.5°C (ver **Figura 3**).

Finalmente, respecto a las perspectivas de la TSM para el período febrero–junio de 2026, el pronóstico C3S multi-sistema indica una ligera predominancia de anomalías negativas en el Pacífico central durante febrero de 2026, con valores entre -0.2 °C y -0.5 °C. Posteriormente, se proyecta un calentamiento y predominancia de anomalías positivas desde marzo de 2026, iniciándose en el Pacífico Oriental (con valores entre +0.5 °C y +1 °C) y extendiéndose hacia el Pacífico Central entre abril y junio, con valores predominantes de +1 °C a +2 °C en el Pacífico Oriental y de +0.5 °C a +1 °C en el Pacífico Central. De consolidarse este patrón, podría generarse un evento El Niño, en concordancia con lo indicado por el ENFEN en su Comunicado N.º 1-2026² (ver **Figura 4**).

¹ OISSTv2.1 data TSM Semanal: <https://www.cpc.ncep.noaa.gov/data/indices/wksst9120.for>

² Comunicado ENFEN N°1- 2026: https://cdn.www.gob.pe/uploads/document/file/9296466/7624651-comunicado_of_enfen-n-01-2026.pdf?v=1768527844



PERÚ

Ministerio
del AmbienteServicio Nacional de
Meteorología e Hidrología
del Perú - SENAMHISUBDIRECCION
DE PREDICCIÓN CLIMÁTICA

SENAMHI
SERVICIO NACIONAL DE METEOROLOGÍA
E HIDROLOGÍA DEL PERÚ

*"Decenio de la Igualdad de Oportunidades para Mujeres y Hombres"
"Año de la recuperación y consolidación de la economía peruana"*

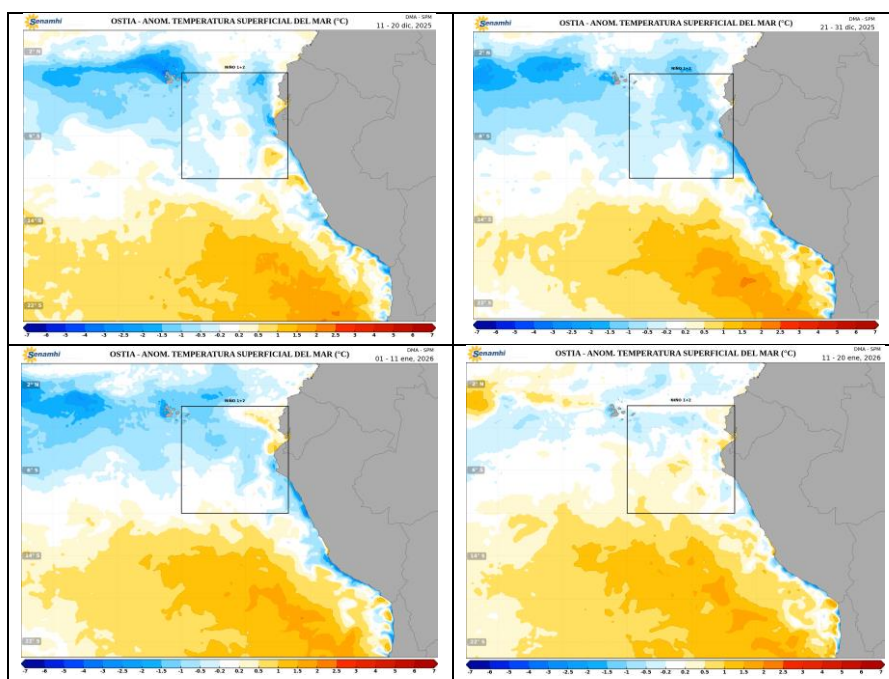


Figura 1. Promedios decadales de la anomalía de la temperatura superficial del mar (TSM) en el Pacífico Oriental del 11 de diciembre 2025 al 20 de enero de 2026 (1a, 1b, 1c y 1d). Climatología 1981-2010.
Fuente satelital: OSTIA. Procesamiento: SPM-SENAMHI.

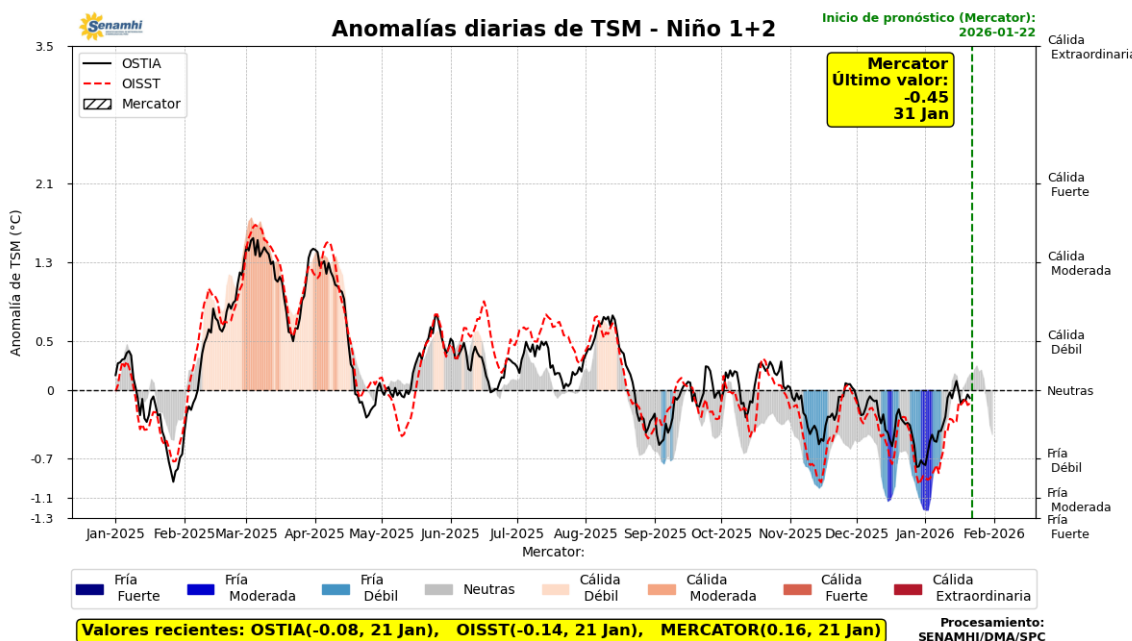


Figura 2. Anomalías diarias de la temperatura superficial del mar (TSM) en la región Niño 1+2 del 01 de enero 2025 al 21 de enero de 2026. Pronóstico del 22 al 31 de enero 2026. Fuente: OSTIA, OISST, MERCATOR. Procesamiento: SPC-SENAMHI.



PERÚ

Ministerio
del AmbienteServicio Nacional de
Meteorología e Hidrología
del Perú - SENAMHISUBDIRECCION
DE PREDICCIÓN CLIMÁTICA

SENAMHI
SERVICIO NACIONAL DE METEOROLOGÍA
E HIDROLOGÍA DEL PERÚ

"Decenio de la Igualdad de Oportunidades para Mujeres y Hombres"
 "Año de la recuperación y consolidación de la economía peruana"

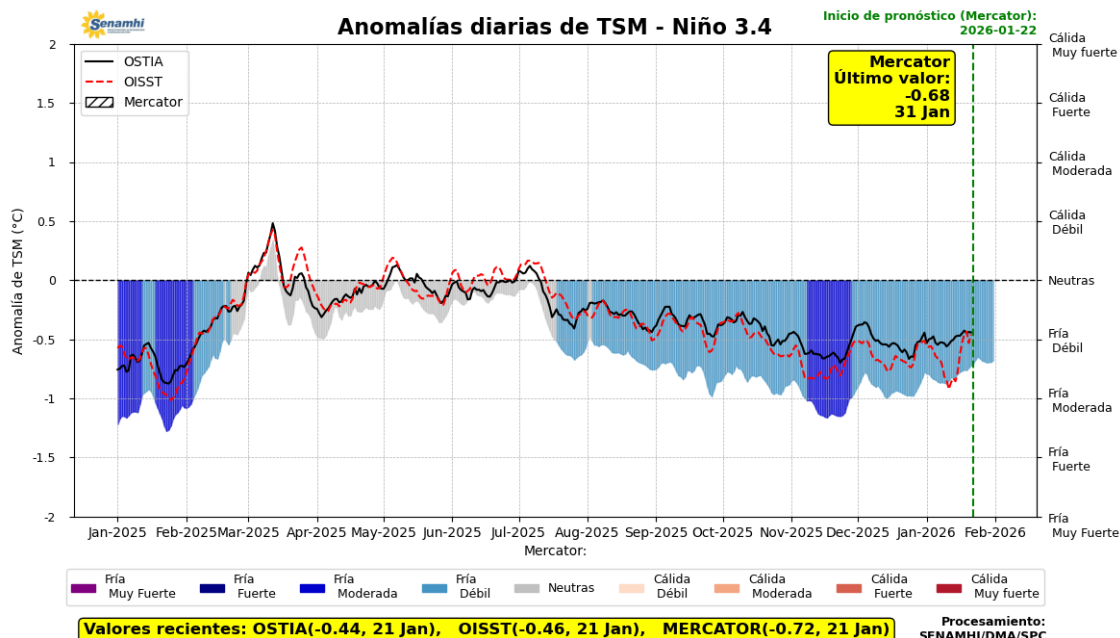


Figura 3. Anomalías diarias de la temperatura superficial del mar (TSM) en la región Niño 3.4 del 01 de enero 2025 al 21 de enero de 2026. Pronóstico del 22 al 31 de enero 2026. Fuente: OSTIA, OISST, MERCATOR. Procesamiento: SPC-SENAMHI.

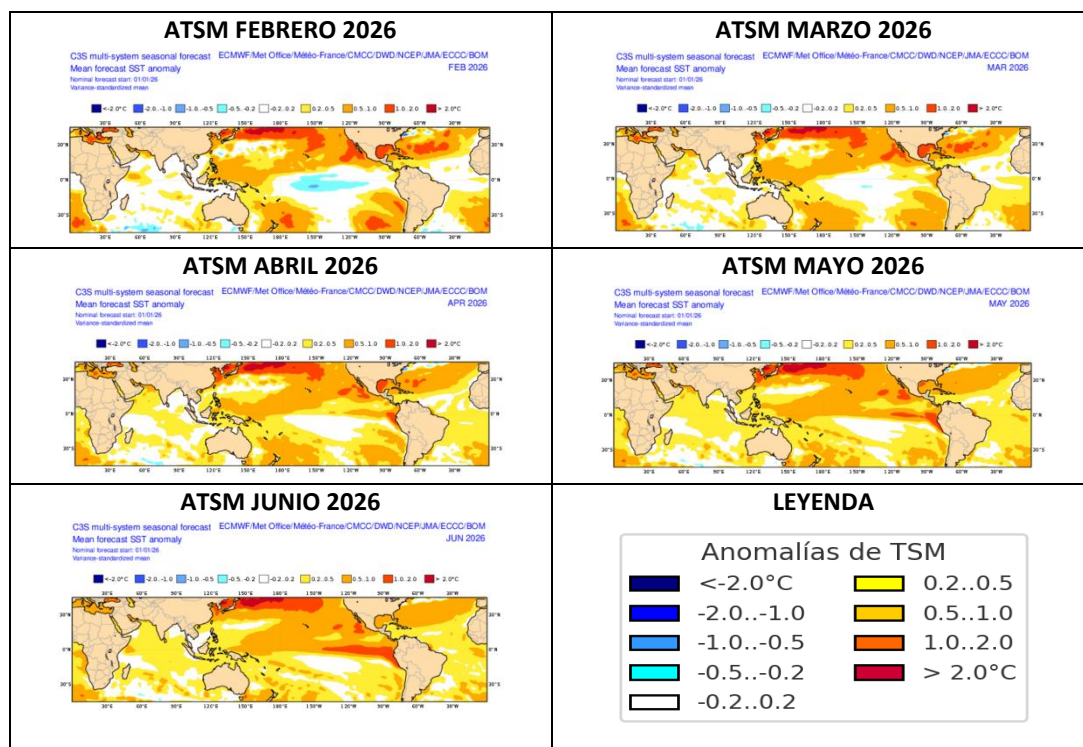


Figura 4. Perspectivas mensuales de anomalías de TSM para el Pacífico ecuatorial del C3S multi-system seasonal forecast. Período: febrero – junio 2026. Modelos: ECMWF/Met Office/Meteo-France/CMCC/DWD/NCEP/JMA/ECCC/BOM. Fuente: Copernicus.



PERÚ

Ministerio
del AmbienteServicio Nacional de
Meteorología e Hidrología
del Perú - SENAMHISUBDIRECCION DE
PREDICCION CLIMATICA

"Decenio de la Igualdad de Oportunidades para Mujeres y Hombres"
"Año de la recuperación y consolidación de la economía peruana"

2. ÍNDICES ENSO

Los índices de monitoreo del Pacífico ecuatorial como el SOI y EQSOI, en diciembre 2025, registraron valores de 0 y +0.9 respectivamente; El EQSOI persistió en la tendencia hacia valores positivos por veintún meses consecutivos, después de haber registrado condiciones negativas por undécimo mes consecutivo (en el evento El Niño), mientras que el SOI muestra una reducción notable alcanzando condiciones neutras (ver **Figura 5**). La persistencia de valores positivos del EQSOI ha favorecido una tendencia hacia la persistencia de anomalías de TSM negativas en el Pacífico central (ver **Figura 3**). Además, se registró por veinticinco meses consecutivos valores positivos del índice TWI, con un valor de +1.2 en este último mes, evidenciando la persistencia de alisios intensificados. Por otro lado, el OLR mantuvo valores positivos reportando +1.1 en diciembre, manteniendo las condiciones subsidentes que se han estado presentando en el Pacífico Central favorecidos por las condiciones frías del mar (ver **Figura 3 y 5**).

Respecto a las anomalías de TSM en el Pacífico central, el último valor del ONI centrado en noviembre alcanzó el valor de -0.5°C ³ (valor temporal), alcanzando la condición de fría débil y registrando por dieciséis trimestres consecutivos condiciones negativas en el período 2024-2025. Además, la anomalía mensual de diciembre 2025 según el ERSSTv5² reportó un valor de -0.66°C (sujeto a actualizaciones) y, a nivel semanal, del 28 de diciembre al 3 de enero, 4 al 10 de enero y 11 al 17 de enero el producto OISSTv2.1 indicó anomalías de -0.5°C , -0.8°C y -0.7°C respectivamente, con una persistencia de anomalías negativas de TSM dentro de la categoría fría débil.

³ ONI: https://origin.cpc.ncep.noaa.gov/products/analysis_monitoring/ensostuff/ONI_v5.php



PERÚ

Ministerio
del AmbienteServicio Nacional de
Meteorología e Hidrología
del Perú - SENAMHISUBDIRECCION DE
PREDICCIÓN CLIMÁTICA

"Decenio de la Igualdad de Oportunidades para Mujeres y Hombres"
"Año de la recuperación y consolidación de la economía peruana"

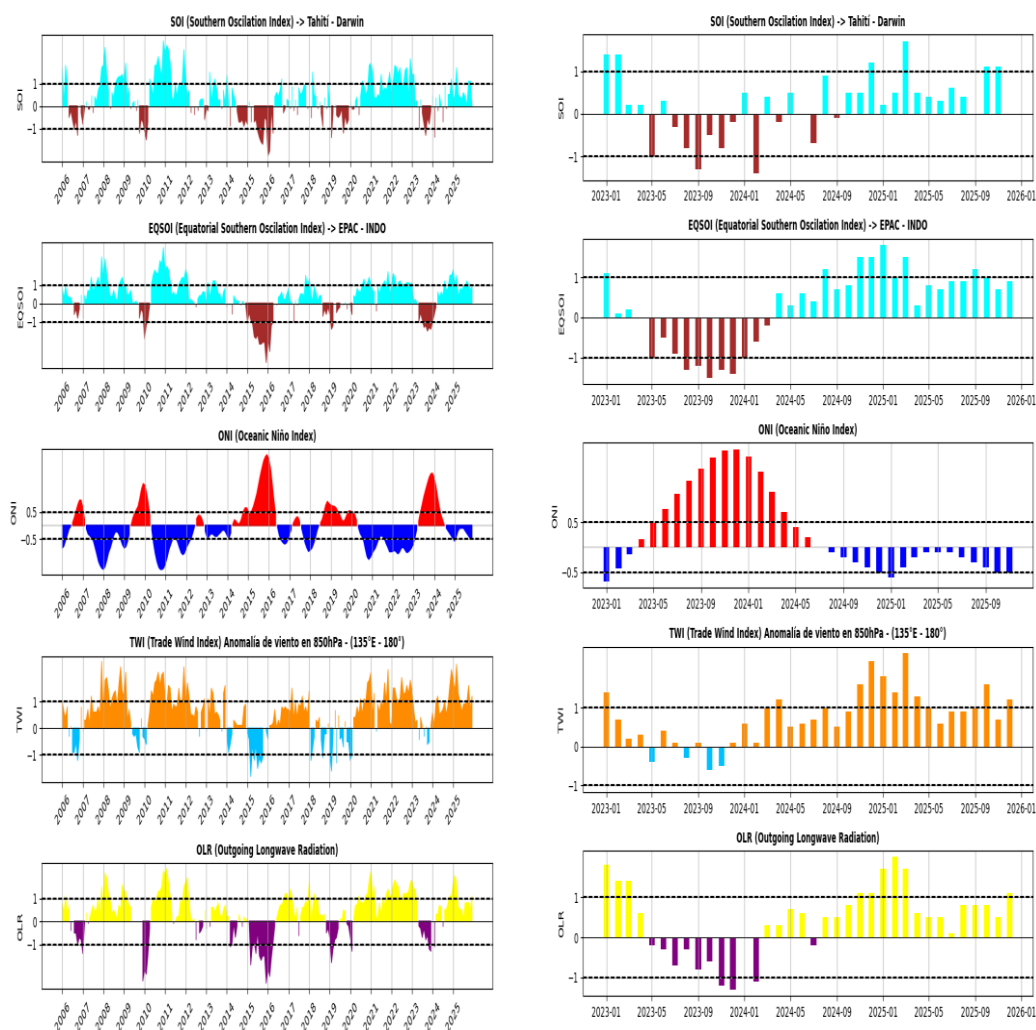


Figura 5. Índices mensuales asociados al ENSO (El Niño Southern Oscillation) desde enero de 2006 hasta diciembre de 2025 (izq.) y enero del 2023 a diciembre del 2025 (der.) con media móvil de 3 meses. Procesamiento: SPC/SENAMHI.

3. CIRCULACIÓN ECUATORIAL

En promedio para diciembre 2025, se observaron patrones subsidentes entre los 80°W-70°W y 0°-5°S (asociados a la región norte del Perú), desde niveles bajos (850 hPa) hasta niveles altos (250 hPa). Además se tuvo una masa seca de aire entre niveles medios y altos (500 a 200 hPa) con valores de HR de entre 0% a 40%, lo que habría limitado el desarrollo vertical de nubosidad, propiciando déficits de lluvias y descensos de temperaturas mínimas en la costa y sierra norte del Perú (ver **Figuras 6a, 17a y 18a**). Posteriormente, en lo que va de enero, se evidenció un cambio hacia patrones más convectivos, principalmente hacia la vertiente nororiental (entre los 70°W - 77°W) y valores de HR de entre 60% a 100% lo que propició mayor desarrollo vertical de nubosidad, lluvias y una normalización de las temperaturas mínimas hacia la 1ra y 2da década de enero 2026 (ver **Figuras 6b, 17b, 17c, 18b y 18c**).



PERÚ

Ministerio
del AmbienteServicio Nacional de
Meteorología e Hidrología
del Perú - SENAMHISUBDIRECCION
DE PREDICCIÓN CLIMÁTICA

*"Decenio de la Igualdad de Oportunidades para Mujeres y Hombres"
"Año de la recuperación y consolidación de la economía peruana"*

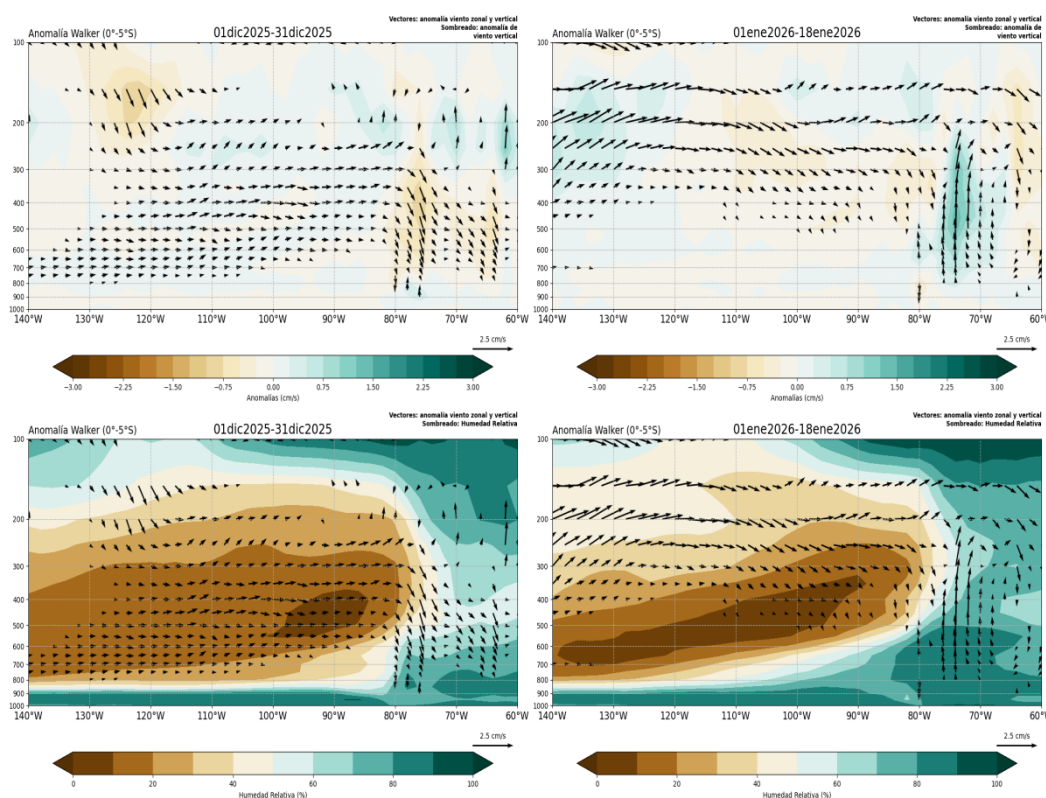


Figura 6. Análisis de la circulación atmosférica (Walker) en el HS (0° - 5° S) para diciembre de 2025 (izquierda) y lo que va de enero del 2026 (derecha) con vientos (vectores), anomalías de velocidad vertical (sombreado imágenes superiores) y humedad relativa (sombreado imágenes inferiores).

Fuente: ECMWF. Procesamiento: SPC/SENAMHI.

4. CIRCULACIÓN EN SUPERFICIE

Durante diciembre de 2025, el Anticiclón del Pacífico Sur (APS) presentó episodios de debilitamiento de su núcleo entre el 6 y el 10 de diciembre, así como desplazamientos al sur y al oeste de su posición climática entre el 11–15 y 16–20 de diciembre, respectivamente. Estas configuraciones favorecieron el debilitamiento de los vientos costeros durante el mes de diciembre, lo que podría haber favorecido un incremento de la TSM, sin embargo, las ondas Kelvin frías propiciaron un enfriamiento de la TSM en la región Niño 1+2 en donde se tuvieron anomalías negativas que alcanzaron brevemente el umbral de -1.1°C (ver **Figuras 1, 7 y 10**).

En lo que va de enero de 2026, el APS persistió al sureste de su posición climática entre el 1 y el 5 de enero. Posteriormente, migró al oeste de su posición climática, acompañado de un debilitamiento de su núcleo, con valores cercanos a 1020 hPa. Entre el 11 y el 15 de enero, el sistema se intensificó, alcanzando valores de 1024–1026 hPa en su núcleo; no obstante, se mantuvo al oeste de su posición climática (ver **Figuras 7 y 10**). En conjunto, estas configuraciones favorecieron que durante enero persistieran vientos debilitados, principalmente en la costa central y sur del Perú. En la costa norte, si bien se registraron episodios breves de intensificación, predominó igualmente un régimen de vientos debilitados, lo que ha propiciado un incremento de la TSM en la región Niño 1+2 alcanzando el rango neutral (ver **Figuras 1, 2, 7 y 10**).



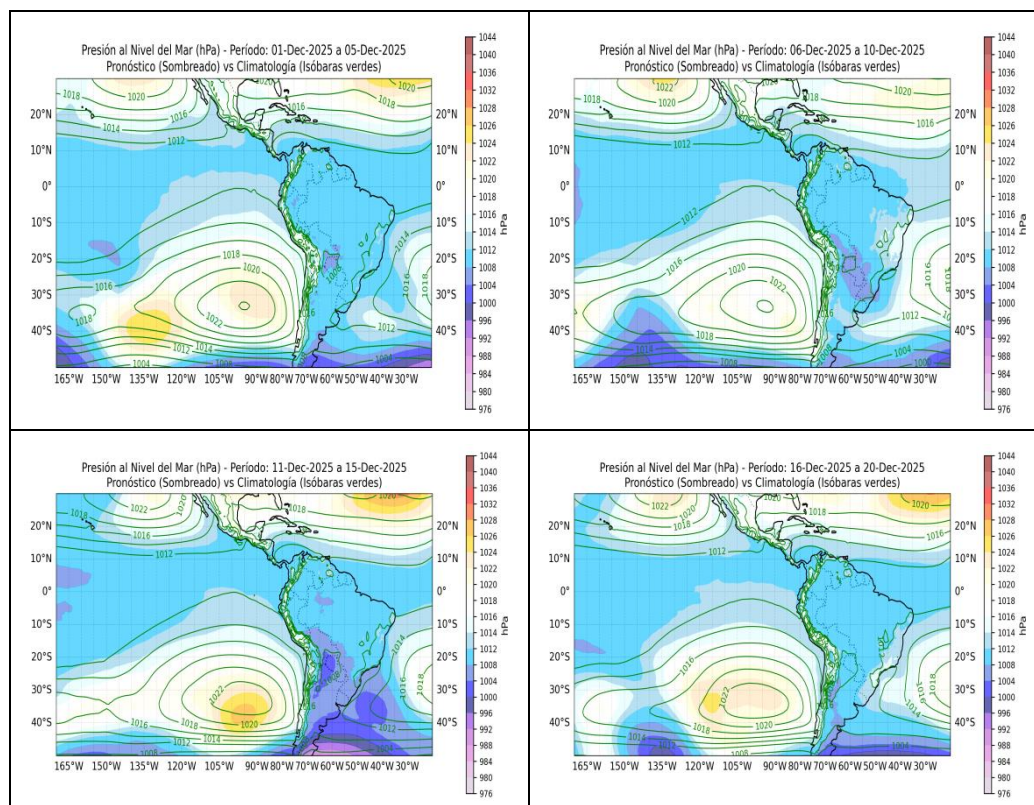
PERÚ

Ministerio
del AmbienteServicio Nacional de
Meteorología e Hidrología
del Perú - SENAMHISUBDIRECCION DE
PREDICCIÓN CLIMÁTICA

*"Decenio de la Igualdad de Oportunidades para Mujeres y Hombres"
"Año de la recuperación y consolidación de la economía peruana"*

De acuerdo con el pronóstico, entre el 26 al 30 de enero se tendrá un debilitamiento de presión en la región climática del APS, debido a la incursión de sistemas de baja presión y un APS al este de su posición climática con un núcleo ligeramente debilitado de 1020 hPa. Posteriormente, se tendrá un nuevo debilitamiento entre el 5 al 7 de febrero, donde se tendrá un APS zonal, relegado al oeste de su posición climática y con un núcleo debilitado de 1018-1020 hPa aproximadamente, lo que propiciará que en estas fechas el gradiente APS costa disminuya significativamente y los vientos se mantengan en promedio debilitados, principalmente en la costa central y sur del Perú (ver **Figuras 8, 9 y 10**).

En cuanto a las perspectivas mensuales, durante enero de 2026 se prevén anomalías negativas de presión en la ubicación climatológica del APS, lo que reflejaría una reducción del gradiente de presión entre el APS y la costa, consistente con la disminución de los vientos que se viene observando. Posteriormente, en febrero de 2026, dichas anomalías tenderían a incrementarse ligeramente; asimismo, el contenido de agua precipitable presentaría anomalías negativas, lo que podría limitar la ocurrencia de episodios de precipitación. Finalmente, durante marzo, abril y mayo, se prevé la predominancia de anomalías negativas de presión asociadas al APS, lo que podría evidenciar un debilitamiento de este sistema y favorecer incrementos en las anomalías de la TSM, tal como se observa en los escenarios mensuales de los ensambles del sistema C3S. De manera consistente, estos incrementos de TSM podrían favorecer aumentos en el contenido de agua precipitable proyectados para dichos meses (ver **Figuras 4 y 11**).





PERÚ

Ministerio
del AmbienteServicio Nacional de
Meteorología e Hidrología
del Perú - SENAMHISUBDIRECCION
DE PREDICCIÓN CLIMÁTICA

**"Decenio de la Igualdad de Oportunidades para Mujeres y Hombres"
"Año de la recuperación y consolidación de la economía peruana"**

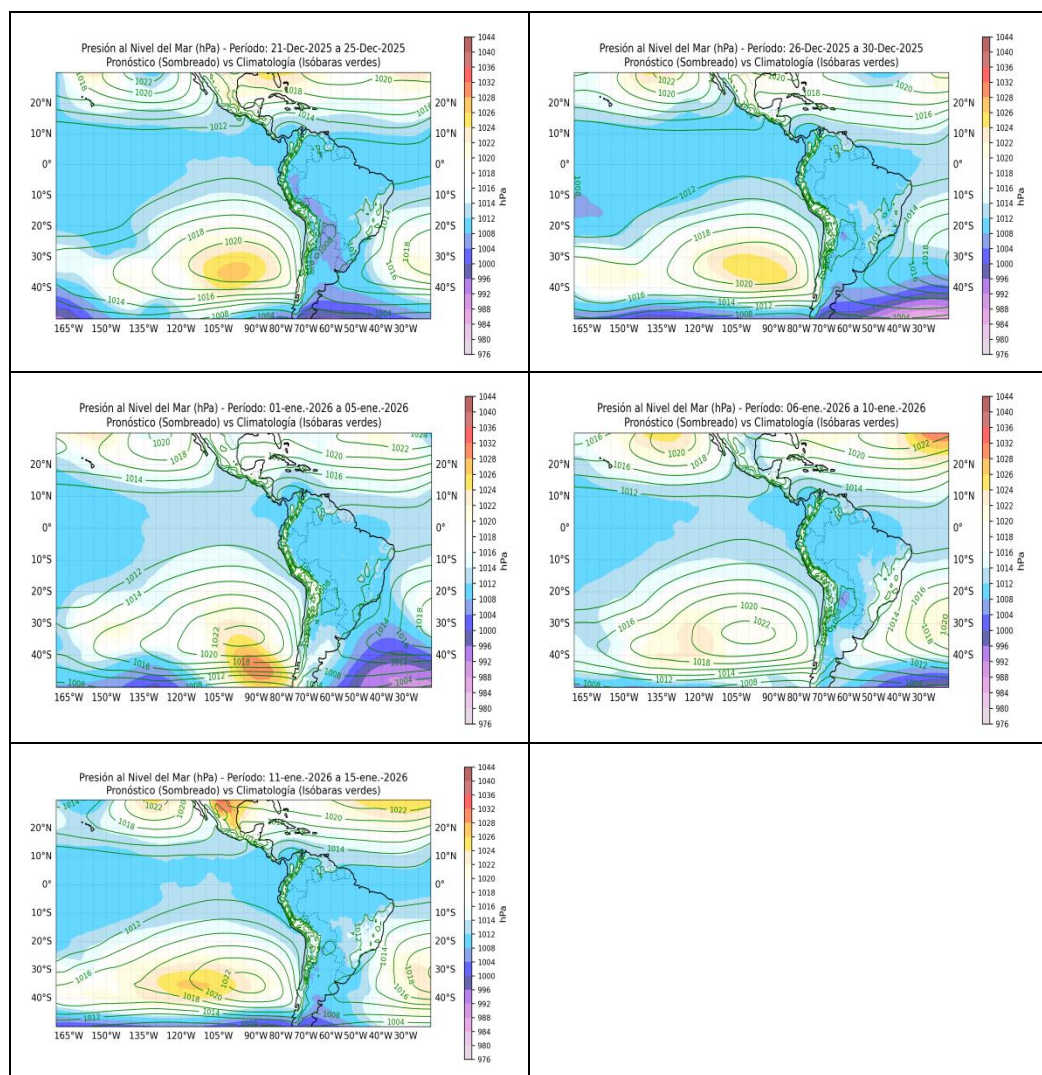
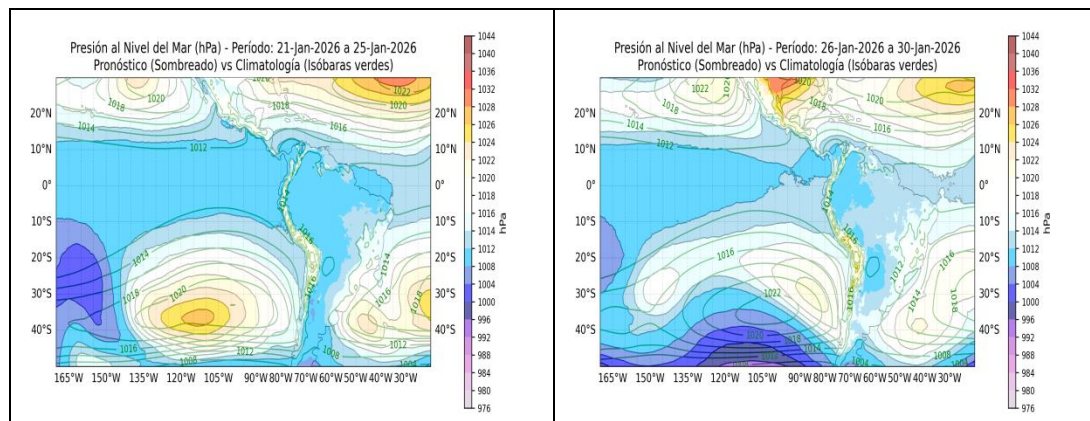


Figura 7. Promedio pentadal de la presión atmosférica reducida a nivel del mar (sobreado) y su climatología (contornos verdes). Período: 01 de diciembre al 15 de enero 2026. Fuente: ECMWF. Procesamiento: SPC - SENAMHI.





PERÚ

Ministerio
del AmbienteServicio Nacional de
Meteorología e Hidrología
del Perú - SENAMHISUBDIRECCION
DE PREDICCIÓN CLIMÁTICA

SENAMHI
SERVICIO NACIONAL DE METEOROLOGÍA
E HIDROLOGÍA DEL PERÚ

"Decenio de la Igualdad de Oportunidades para Mujeres y Hombres"
"Año de la recuperación y consolidación de la economía peruana"

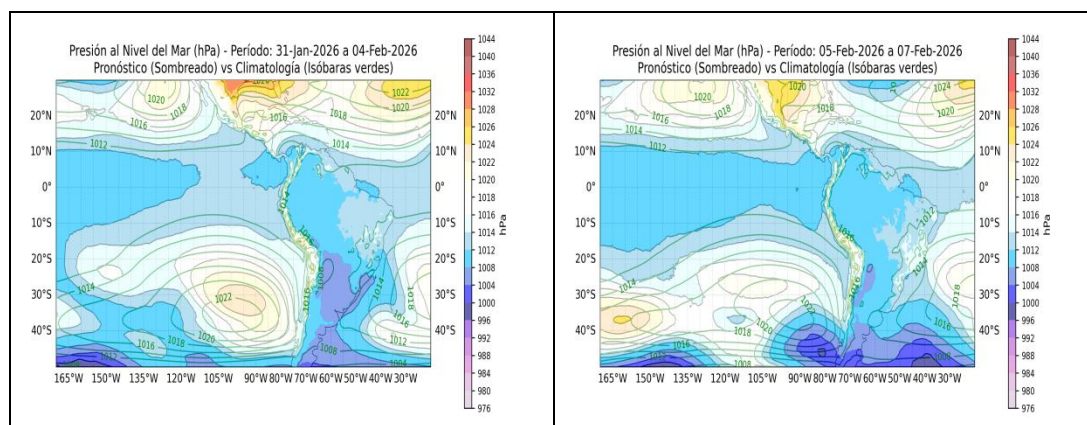


Figura 8. Promedio pentadal de la presión atmosférica reducida a nivel del mar (sobredeo) y su climatología (contornos verdes). Condiciones iniciales: 20 al 21 de enero 2026. Pronóstico: 22 enero al 07 de febrero 2026. Fuente: ECMWF. Procesamiento: SPC - SENAMHI.

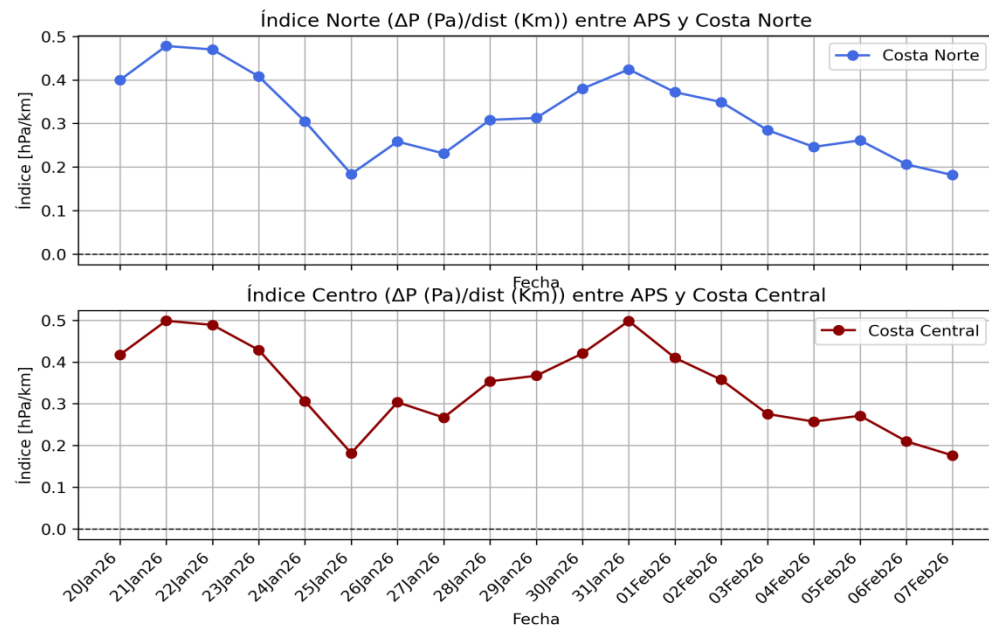


Figura 9. Relación entre el gradiente del núcleo del APS (Pa) y la distancia (km) del APS a la (a) costa norte y (b) costa central. Condiciones actuales: 20 al 21 de enero 2026. Pronóstico: 23 enero al 7 febrero de 2026. Fuente: ECMWF. Procesamiento: SPC - SENAMHI.



PERÚ

Ministerio
del AmbienteServicio Nacional de
Meteorología e Hidrología
del Perú - SENAMHISUBDIRECCION
DE PREDICCIÓN CLIMÁTICA

"Decenio de la Igualdad de Oportunidades para Mujeres y Hombres"
 "Año de la recuperación y consolidación de la economía peruana"

Viento meridional 1000 hPa - Panel Costa Norte/Central/Sur

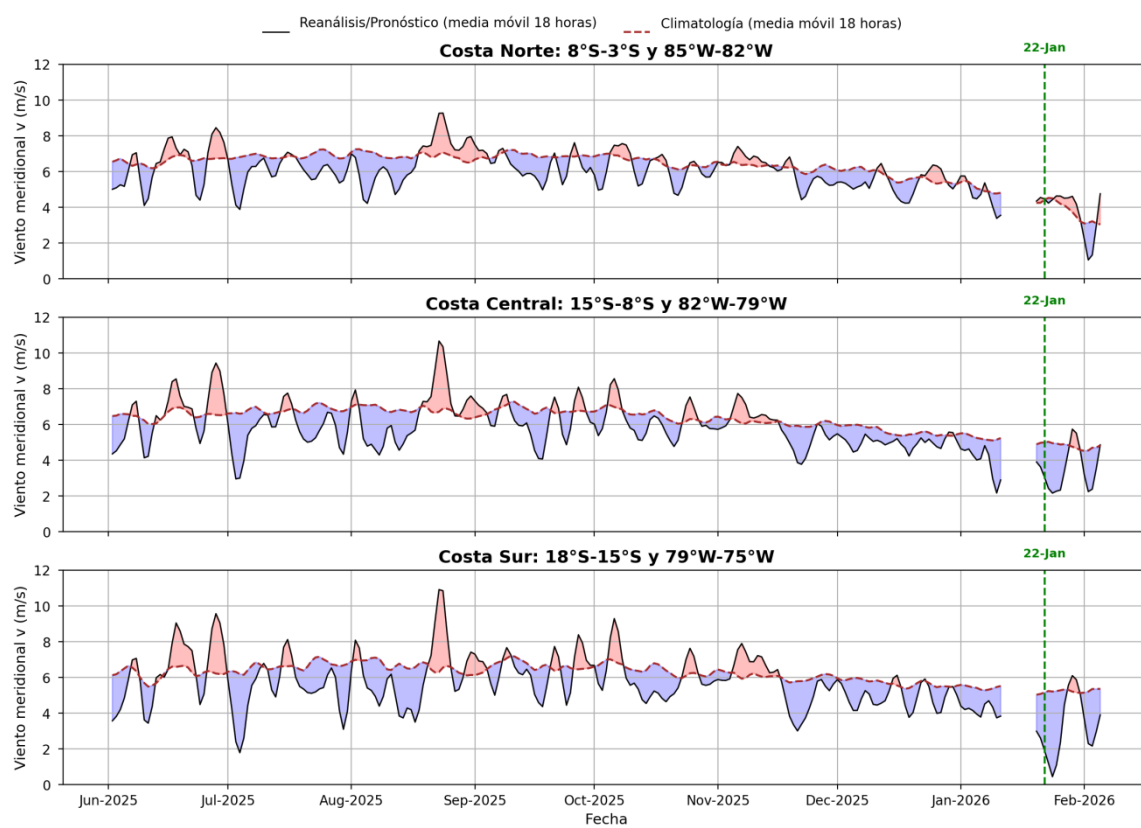
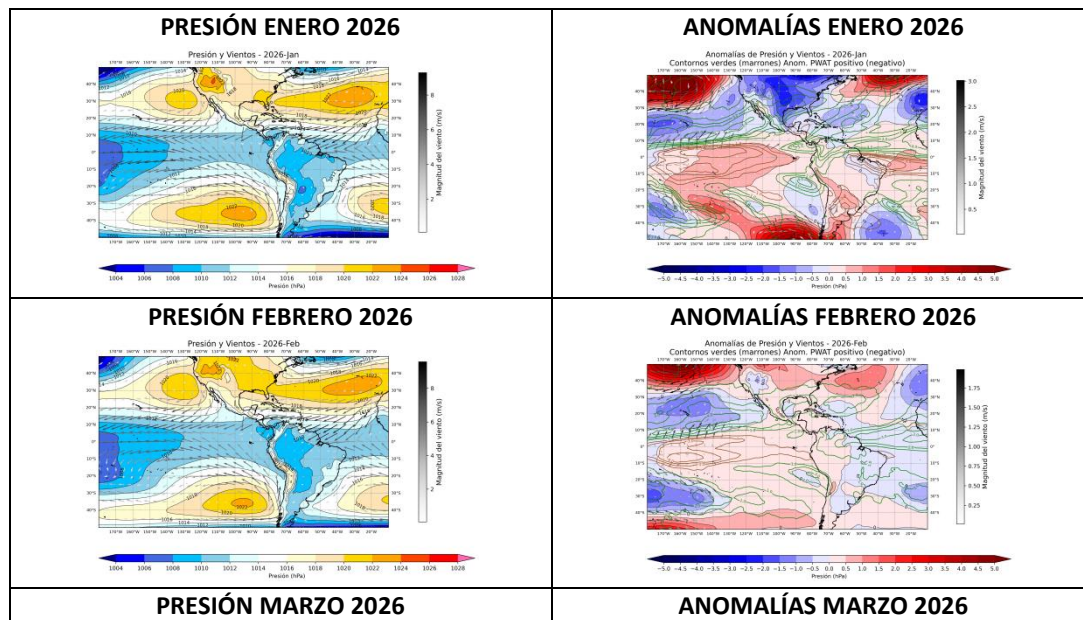


Figura 10. Magnitud de viento meridional a 1000 hPa (línea negra) y climatología (línea roja punteada). Las áreas rojas y azules muestran intensificación y disminución de vientos meridionales respectivamente. Análisis: 01 de junio 2025 al 21 de enero del 2026. Pronóstico: 22 de enero al 6 de febrero de 2026. Fuente ECMWF: Procesamiento: SPC-SENAMHI.





PERÚ

Ministerio
del AmbienteServicio Nacional de
Meteorología e Hidrología
del Perú - SENAMHISUBDIRECCION
DE PREDICCIÓN CLIMÁTICA

"Decenio de la Igualdad de Oportunidades para Mujeres y Hombres"
"Año de la recuperación y consolidación de la economía peruana"

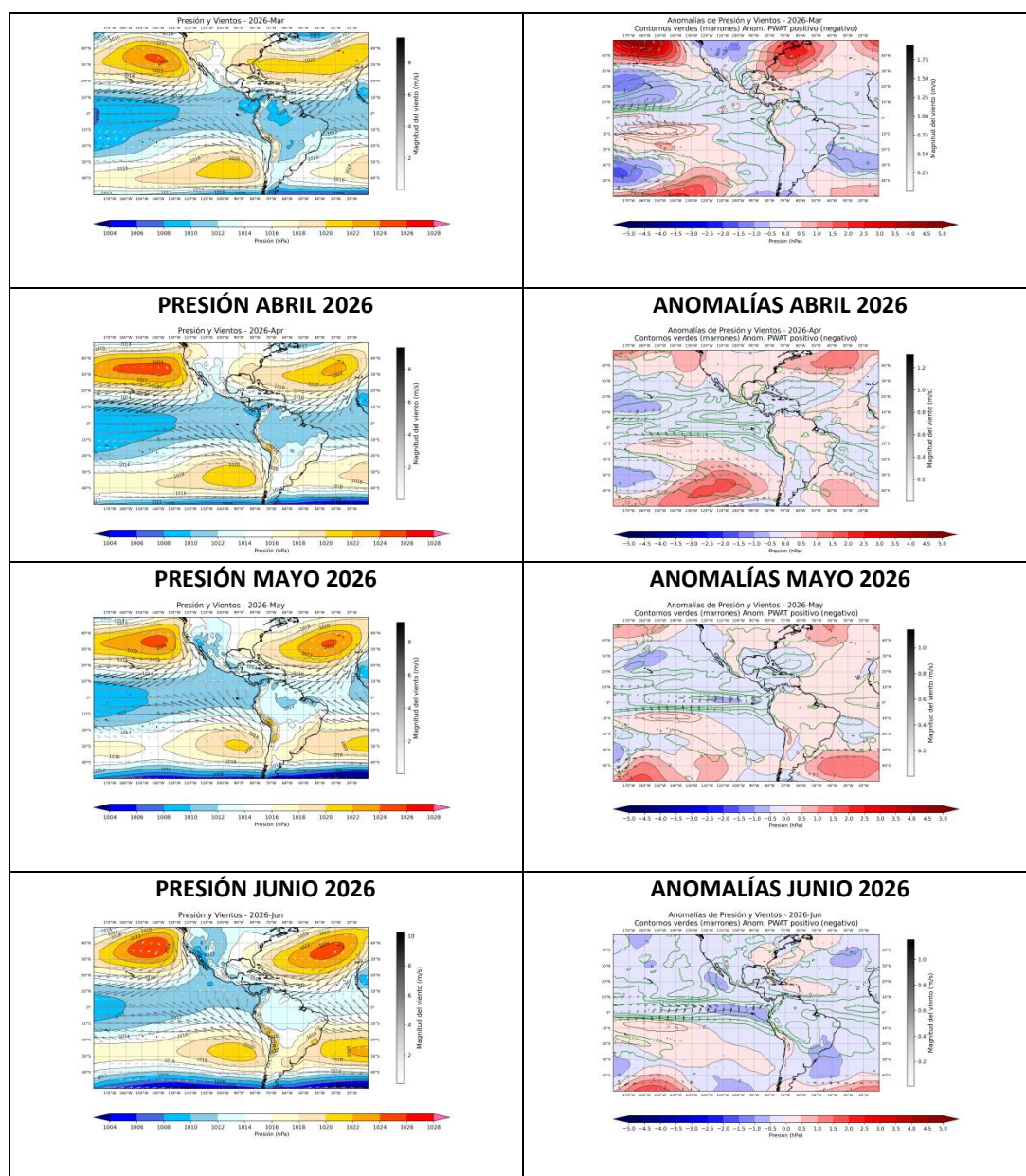


Figura 11. Perspectivas mensuales de la presión a nivel del mar y sus anomalías correspondientes en el Pacífico Oriental. Período: enero – junio 2026. Fuente GFS: Procesamiento: SPC-SENAMHI.

5. VARIABILIDAD INTRAESTACIONAL Y PERSPECTIVAS SUBESTACIONALES

Desde mediados de noviembre hasta inicios y mediados de diciembre de 2025, en la alta tropósfera (200 hPa) sobre la región ecuatorial (5°N–5°S, 90°W–60°W) y la franja tropical (5°S–15°S, 90°W–60°W), que abarca gran parte del territorio peruano, se propagó la fase convergente desde el Pacífico Occidental hacia el Pacífico Oriental y Sudamérica, abarcando gran parte de Perú. Esta condición favoreció la subsidencia, lo que propició déficits en la costa, zona andina y parte de la selva, con anomalías de lluvias predominantemente de -60% a -100% (ver Figuras 12a, 12b y 17a).

Posteriormente, en lo que va de enero, han predominado anomalías de velocidad potencial divergentes en la región ecuatorial (5°N–5°S, 90°W–60°W) y la franja tropical



PERÚ

Ministerio
del AmbienteServicio Nacional de
Meteorología e Hidrología
del Perú - SENAMHISUBDIRECCION DE
PREDICCION CLIMATICA

*"Decenio de la Igualdad de Oportunidades para Mujeres y Hombres"
"Año de la recuperación y consolidación de la economía peruana"*

(5°S–15°S, 90°W–60°W), lo que podría haber favorecido una mayor convección y superávits de lluvias, principalmente en la 2da década de enero (ver **Figuras 6b, 12a, 12b, 17b y 17c**). Estos superávits de lluvias favorecieron una normalización de las temperaturas mínimas en gran parte de la región norte y central del Perú (ver **Figuras 17b, 17c, 18b y 18c**).

Desde la línea de pronóstico (21 de enero 2025) hasta mediados de febrero, se espera una predominancia de la fase divergente, lo que podría propiciar mayores superávits de lluvias. Cabe mencionar que el comportamiento de estas variables también va a depender de cómo evolucione tanto la dinámica atmosférica como las condiciones oceánicas (ver **Figura 12a y 12b**).

En niveles bajos (850 hPa) y dentro de la franja ecuatorial (5°S–5°N), durante el mes de diciembre se observó el predominio de anomalías de vientos del este, con algunos episodios de anomalías de vientos del oeste, principalmente sobre el Pacífico Central y parte del Pacífico Occidental (150°E–120°W). Este patrón favoreció la persistencia de anomalías negativas de la temperatura superficial del mar (TSM) en la región Niño 3.4 (ver **Figuras 3 y 13**).

Posteriormente, en lo que va de enero, se registró el desarrollo de un pulso de vientos del oeste sobre el Pacífico Occidental (120°E–150°E), el cual se ha mantenido confinado a dicha región. En tanto, sobre el Pacífico Central se presentaron anomalías de vientos del este más atenuadas respecto al mes anterior, las cuales continúan favoreciendo la persistencia de anomalías negativas de TSM en la región Niño 3.4; no obstante, este atenuamiento estaría asociado a una ligera tendencia al incremento de dichas anomalías (ver **Figuras 3 y 13**).

Finalmente, desde la fecha de inicio del pronóstico (21 de enero), se prevé el desarrollo de un breve pulso de vientos del oeste que abarcaría gran parte del Pacífico ecuatorial. Posteriormente, hasta mediados de febrero, predominarían los vientos del este en el Pacífico Central, con un núcleo de –5 a –9 m/s, lo que podría favorecer la persistencia de anomalías negativas de TSM. Sin embargo, este escenario, según los modelos del C3S, podría evolucionar hacia un calentamiento entre marzo y abril (ver **Figuras 4 y 13**).

En niveles altos de la tropósfera (200 hPa), durante diciembre de 2025, en el dominio 5°N–5°S y 90°W–60°W, asociado a la región norte del Perú, predominó la presencia de anomalías de vientos del oeste, las cuales habrían favorecido una menor advección de humedad y, en conjunto con menores valores de humedad relativa y patrones subsidentes, propiciaron déficits de precipitación (ver Figuras 6, 14 y 17a).

Posteriormente, en lo que va de enero, persistieron los episodios de anomalías de vientos del oeste; sin embargo, la convección asociada a la celda de Walker y el mayor grado de saturación de la humedad (HR%) favorecieron la ocurrencia de superávits de precipitación en la región norte del Perú, reflejados en los campos de anomalías (ver **Figuras 6, 14, 17b y 17c**).

Desde la fecha de inicio del pronóstico, se esperan episodios tanto de anomalías de vientos del este como del oeste, con mayor intensidad de los vientos del oeste, lo que

*"Decenio de la Igualdad de Oportunidades para Mujeres y Hombres"
"Año de la recuperación y consolidación de la economía peruana"*

podría limitar parcialmente la advección de humedad y reducir los acumulados de precipitación (ver **Figura 14**).

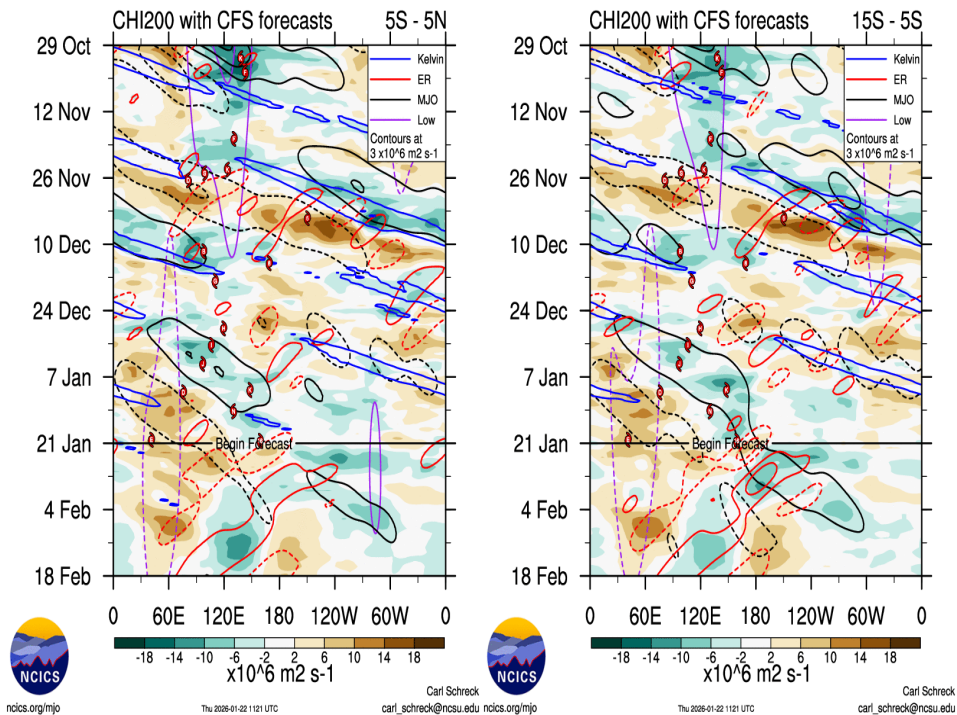


Figura 12. Anomalía de la velocidad potencial en 200 hPa entre los 5°N - 5°S (a) y los 5°S – 15°S (b) a lo largo de la línea ecuatorial. Análisis: 29 octubre 2025 al 21 enero del 2026. Pronóstico: 22 de enero al 18 de febrero 2026. Anomalías positivas (marrón), anomalías negativas (verdes). La línea negra indica la fecha en que inicia el pronóstico de acuerdo al modelo CFS. Fuente: NCICS-NOAA.

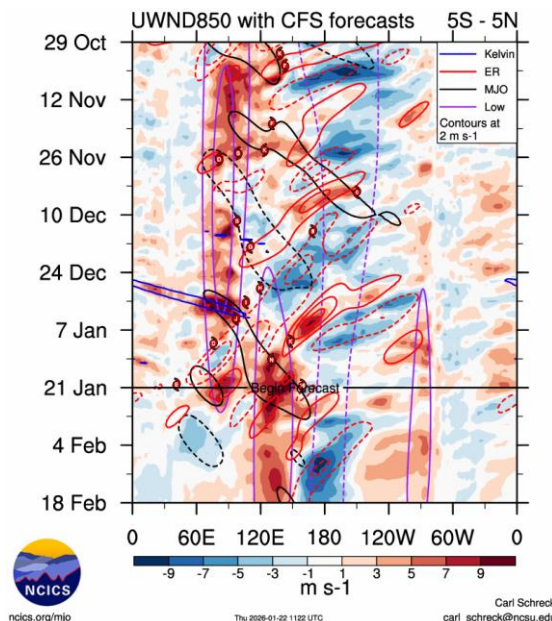


Figura 13. Anomalía del viento zonal en 850 hPa entre los 5°N y 5°S a lo largo de la línea ecuatorial. Análisis: 29 octubre 2025 al 21 enero del 2026. Pronóstico: 22 de enero al 18 de



PERÚ

Ministerio
del AmbienteServicio Nacional de
Meteorología e Hidrología
del Perú - SENAMHISUBDIRECCION DE
PREDICCION CLIMATICA

"Decenio de la Igualdad de Oportunidades para Mujeres y Hombres"
"Año de la recuperación y consolidación de la economía peruana"

febrero 2026. Anomalías positivas (rojo), anomalías negativas (azul). La línea negra indica la fecha en que inicia el pronóstico de acuerdo al modelo CFS. Fuente: NCICS-NOAA.

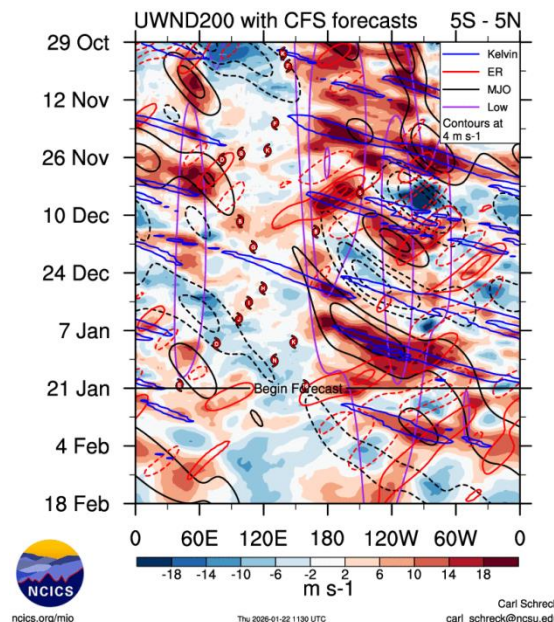


Figura 14. Anomalía del viento zonal en 200 hPa entre los 5°N y 5°S a lo largo de la línea ecuatorial. Análisis: 29 octubre 2025 al 21 enero del 2026. Pronóstico: 22 de enero al 18 de febrero 2026. Anomalías positivas (rojo), anomalías negativas (azul). La línea negra indica la fecha en que inicia el pronóstico de acuerdo al modelo CFS. Fuente: NCICS-NOAA.

6. CONDICIONES ATMOSFÉRICAS REGIONALES

En lo que va de enero se registraron anomalías de agua precipitable predominantemente positivas hacia la vertiente occidental del Perú, lo que en parte ha favorecido los superávits de lluvias en la región mencionada, principalmente en la 2da década de enero (ver **Figuras 15, 17b y 17c**).

En cuanto al pronóstico del 22 de enero al 18 de febrero, se espera que persistan las anomalías positivas de agua precipitable, principalmente hacia la región norte del Perú y frente a la vertiente suroccidental del Perú, lo que, si se da una dinámica favorable podría propiciar superávits de lluvias en las regiones mencionadas (ver **Figura 15**).



PERÚ

Ministerio
del AmbienteServicio Nacional de
Meteorología e Hidrología
del Perú - SENAMHISUBDIRECCION DE
PREDICCIÓN CLIMÁTICA

"Decenio de la Igualdad de Oportunidades para Mujeres y Hombres"
"Año de la recuperación y consolidación de la economía peruana"

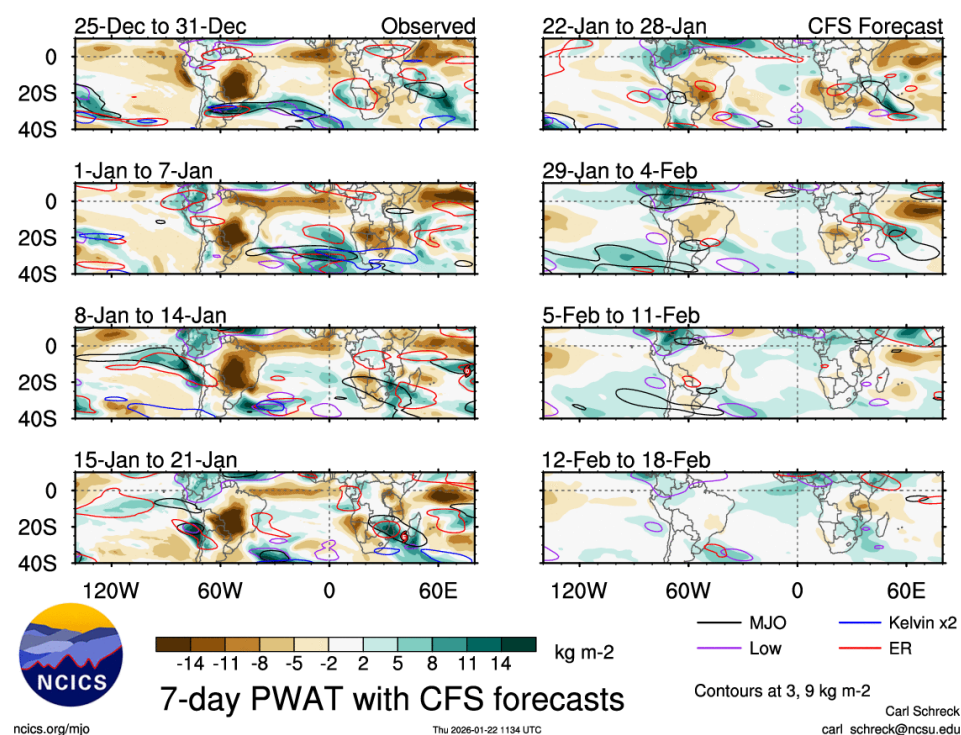


Figura 15. Anomalía del agua precipitable (Kg^*m^2) (sombreado) para Perú. Análisis del 25 de diciembre 2025 al 21 de enero 2026. Pronóstico del 22 de enero al 18 de febrero 2026. El panel derecho indica el pronóstico del CFS. Fuente: NCICS - NOAA.

7. MONITOREO TERMOPLUVIOMÉTRICO

Durante diciembre de 2025, predominaron condiciones frías a lo largo de la franja costera del Perú, especialmente en la costa norte, donde se registraron anomalías negativas de la temperatura mínima del aire de hasta -2.5°C en las estaciones La Esperanza y Chusis. Esta predominancia de anomalías negativas de la temperatura del aire estuvo asociada al descenso de la temperatura superficial del mar (TSM), favorecido por el arribo de ondas Kelvin frías.

Posteriormente, durante enero de 2026, se evidenció un incremento paulatino de las temperaturas máximas y mínimas, debido al debilitamiento del efecto de las ondas Kelvin frías y a la presencia de vientos debilitados, los cuales limitaron el afloramiento costero y favorecieron el incremento de la TSM a lo largo de la costa. Los mayores incrementos de la temperatura mínima se registraron hacia la segunda década de enero, destacando la estación Huarmey, donde se reportó una anomalía de hasta $+2.0^\circ\text{C}$. Asimismo, las estaciones Jayanca, Lambayeque y Talla presentaron anomalías positivas cercanas a $+1.0^\circ\text{C}$ (ver **Figuras 1, 2, 10 y 16**).



PERÚ

Ministerio
del AmbienteServicio Nacional de
Meteorología e Hidrología
del Perú - SENAMHISUBDIRECCION DE
PREDICCION CLIMATICA

"Decenio de la Igualdad de Oportunidades para Mujeres y Hombres"
"Año de la recuperación y consolidación de la economía peruana"

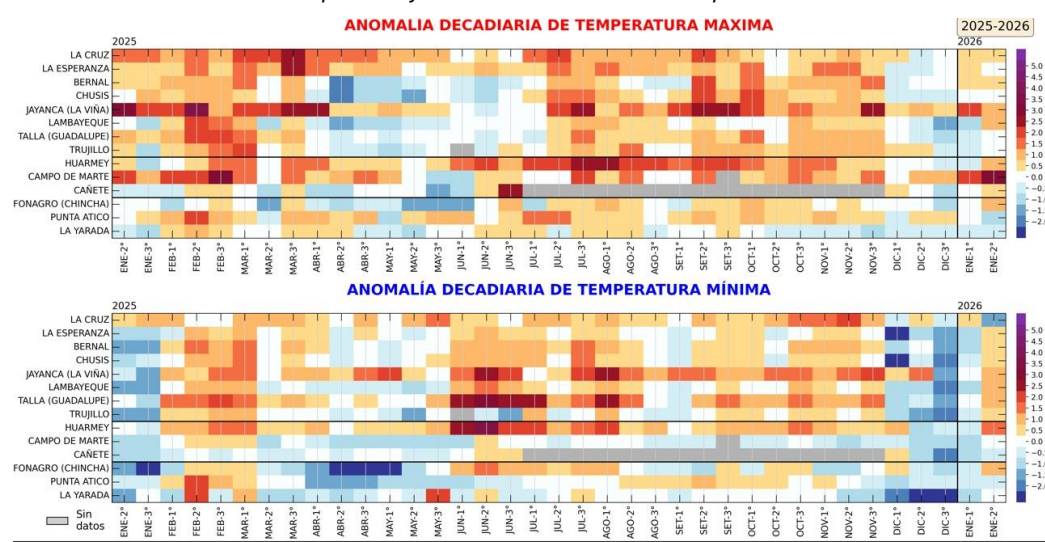


Figura 16. Anomalía de las temperaturas del aire máxima (a) y mínima (b) en las estaciones costeras del SENAMHI de la 2da década de enero 2025 a la 2da década de enero 2026. Fuente y procesamiento: SENAMHI.

Durante diciembre de 2025, se registraron déficits de precipitación predominantes a nivel nacional, con anomalías de lluvia mayoritariamente entre -60% y -100% , y eventos de lluvia aislados en la selva norte, selva sur y sierra sur (ver **Figura 17a**). Posteriormente, en la primera década de enero de 2026, se observaron superávits de precipitación en la costa norte, costa central, sierra norte occidental, sierra central occidental y selva norte. En particular, en la costa norte, sierra norte occidental, costa central y sierra central occidental se registraron lluvias significativas, con anomalías que alcanzaron valores de hasta $+800\%$. En contraste, en la sierra sur predominaron déficits de precipitación, con anomalías de entre -60% y -100% (ver **Figura 17b**). Finalmente, durante la segunda década de enero, se presentó un escenario más favorable de precipitaciones, con predominancia de superávits a escala nacional, alcanzando anomalías de hasta $+800\%$ en la sierra norte, selva norte, costa central y sierra sur occidental. No obstante, se registraron déficits localizados en sectores de la costa norte (Tumbes y Piura) y en la sierra sur oriental (zonas de Cusco y Puno), con anomalías entre -30% y -60% (ver **Figura 17c**).

En cuanto a las temperaturas mínimas, durante diciembre se presentaron condiciones frías a lo largo de la región andina y en sectores de la costa, asociadas a escasa nubosidad, lo cual estuvo en concordancia con los déficits de precipitación registrados durante el mes. En lo que va de enero (primera y segunda década), se ha observado una normalización de las anomalías de la temperatura mínima del aire, debido a la mayor ocurrencia de precipitaciones y, en consecuencia, a un incremento de la nubosidad, la cual actuó como un mecanismo termorregulador, reduciendo la pérdida de radiación de onda larga (ver **Figuras 18a, 18b y 18c**).



PERÚ

Ministerio
del AmbienteServicio Nacional de
Meteorología e Hidrología
del Perú - SENAMHISUBDIRECCION
DE PREDICCIÓN CLIMÁTICA
SENAMHI
SERVICIO NACIONAL DE METEOROLOGÍA
E HIDROLOGÍA DEL PERÚ

"Decenio de la Igualdad de Oportunidades para Mujeres y Hombres"
"Año de la recuperación y consolidación de la economía peruana"

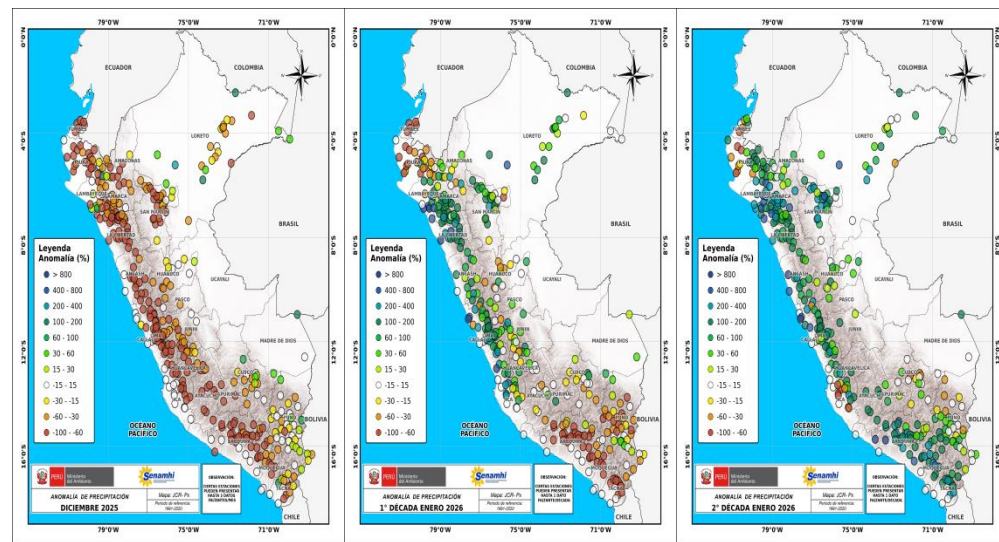


Figura 17. Anomalía de precipitación (%) en diciembre 2025 (a), del 1 al 10 de enero 2026 (b) y del 11 al 20 de enero 2026 (c). Climatología 1991-2020. Fuente y Procesamiento: SENAMHI.

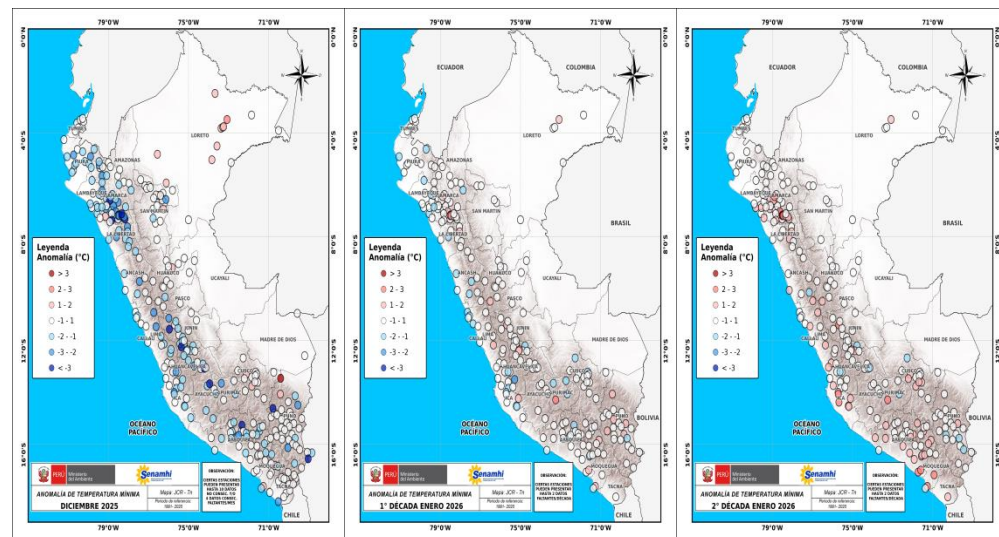


Figura 18. Anomalía de temperatura mínima (°C) en diciembre 2025 (a), del 1 al 10 de enero 2026 (b) y del 11 al 20 de enero 2026 (c). Climatología 1991-2020. Fuente y Procesamiento: SENAMHI.

Análisis y redacción:

Javier Chiong, Grinia Ávalos, Dora Marín, Nelson Quispe.

Próxima actualización: 21 de febrero de 2026



PERÚ

Ministerio
del AmbienteServicio Nacional de
Meteorología e Hidrología
del Perú - SENAMHISUBDIRECCION DE
PREDICCIÓN CLIMÁTICA

"Decenio de la Igualdad de Oportunidades para Mujeres y Hombres"
"Año de la recuperación y consolidación de la economía peruana"

Se invita a acceder a los siguientes sitios del portal institucional:

Avisos Meteorológicos

<https://www.senamhi.gob.pe/?p=aviso-meteorologico>

Pronósticos climáticos de lluvias, temperaturas máximas y mínima del aire

<https://www.senamhi.gob.pe/?p=pronostico-climatico>

Comunicados ENFEN sobre las condiciones EL NIÑO/LA NIÑA

<https://www.senamhi.gob.pe/?p=fenomeno%2Del%2Dnino>

Boletines informativos

<https://www.senamhi.gob.pe/?&p=boletines>

Boletines de sequías

<https://www.senamhi.gob.pe/?&p=sequias>

© 2026 SENAMHI-PERÚ Jr. Cahuide 758 Jesús María – Lima; Teléfono: 6-141414 clima@senamhi.gob.pe,
pronosticador@senamhi.gob.pe | www.senamhi.gob.pe

Pronóstico del Tiempo: 51 1 - 6141407 anexo 447

Predicción Climática: 51 1 - 6141414 anexo 475

Lima – Perú